



## تولید نانوالیاف کامپوزیت پروتئین گاودانه-کیتوزان به روش الکتروریسی به منظور ریزپوشینه کردن انسنس نعناع

نوشین افشار<sup>۱</sup>، هاجر شکرچی زاده<sup>۲\*</sup>، مهدی کدیور<sup>۳</sup>، میلاد فتحی<sup>۴</sup>

۱. کارشناسی ارشد، گروه علوم و صنایع غذایی، دانشکده کشاورزی، دانشگاه صنعتی اصفهان
۲. استادیار، گروه علوم و صنایع غذایی، دانشکده کشاورزی، دانشگاه صنعتی اصفهان
۳. استاد، گروه علوم و صنایع غذایی، دانشکده کشاورزی، دانشگاه صنعتی اصفهان

(تاریخ دریافت: ۹۶/۱۰/۴، تاریخ آخرین بازنگری: ۹۷/۵/۱۷، تاریخ پذیرش: ۹۷/۶/۲۴)

### چکیده

یکی از مشکلات عمده در زمینه تولید نانو الیاف خالص از کیتوزان ویسکوزیته بالای آن است که یکی از روش‌های غلبه بر این مشکل مخلوط کردن آن با پلیمرهای طبیعی دیگر مانند پروتئین‌ها است. گاودانه منبعی ارزان از پروتئین و انرژی است. هدف از این تحقیق تولید نانو الیاف ترکیبی از کیتوزان و پروتئین گاودانه به روش الکتروریسی می‌باشد. لذا نانوالیاف کمپلکس کیتوزان-پروتئین به روش الکتروریسی با ولتاژ ۲۰ kV، فاصله سوزن تا صفحه جمع‌کننده ۱۵ cm و نرخ تغذیه ۰/۳ mL/h تهییه شد. نانو الیاف تهییه شده تحت بررسی شکل الیاف، طیف مادون قرمز تبدیل فوریه و پراش پرتو ایکس قرار گرفت. نانوالیاف حاصل میانگین قطر ۱۰۰ nm تا ۲۵۰ nm داشتند. نتایج به دست آمده از پراش پرتو ایکس نشان داد ساختار کریستالی بعد از تولید نانوالیاف کاهش پیدا کرده است. در ادامه امکان ریزپوشینه کردن انسنس نعناع در نانو الیاف کیتوزان-پروتئین بررسی شد. برای این منظور ۲۰٪ انسنس نعناع به محلول کمپلکس پروتئین-کیتوزان اضافه و همانند قبل الکتروریسی برای تولید نانوالیاف انجام شد. بررسی شکل الیاف، طیف مادون قرمز، پراش پرتو ایکس، رهایش انسنس و پایداری انسنس طی انبارداری بر روی نانوالیاف حاوی انسنس انجام شد. نتایج FTIR حضور انسنس نعناع در نانوالیاف تهییه شده را تایید کرد. راندمان ریزپوشینه دار کردن انسنس نعناع ۷۱٪ بود. ریزپوشانی کردن انسنس نعناع در نانوالیاف کیتوزان-پروتئین زمان ماندگاری انسنس را از ۱۶ روز افزایش داد. با توجه به نتایج به دست آمده در این تحقیق می‌توان از نانو الیاف حاصل از کیتوزان و پروتئین گاودانه طی فرایند الکتروریسی به عنوان بستری مناسب برای ریزپوشینه کردن ترکیبات آب گریز مانند انسنس نعناع استفاده کرد.

واژه‌های کلیدی: نانوکامپوزیت، گاودانه، کیتوزان، الکتروریسی، نانوالیاف، انسنس نعناع.

## مانند رطوبت، دما و جریان هوای تاثیرات مشخصی بر خصوصیات

نانوالیاف می‌گذارند.

ما و همکاران کامپوزیتی از ایزوله پروتئین لوبيا و کیتوزان به روش الکتروریسی در محیط اسیدی تهیه کردند و از آن به عنوان بستر مناسبی برای حمل آنتی بیوتیک‌هایی مثل نایسین استفاده کردند [۴]. چن و همکاران کامپوزیتی از کلژن-کیتوزان و پلی اتیلن اکسید به روش الکتروریسی تهیه کرده و گزارش دادند می‌توان از کامپوزیت ایجاد شده در تولید فیلم خوارکی استفاده کرد [۵]. چن و همکاران کامپوزیتی از نشاسته و استاتس سلولر به منظور تولید فیلم خوارکی به روش الکتروریسی تهیه کردند [۶]. وانگ سانگ و همکاران کامپوزیتی مرکب از پروتئین زئین-کیتوزان و پلی اتیلن اکسید به روش الکتروریسی تهیه و از آن برای ریزپوشانی آلفا توکوفرول استفاده کردند [۷].

یکی از جذاب‌ترین گونه‌های حبوبات برای تولید دانه و علف خشک گاودانه است. دانه‌های گاودانه از نظر کشت و برداشت محصولی فوق العاده به شمار می‌آید، زیرا در خاک‌های خیلی سطحی و قلیایی می‌تواند رشد کند. گاودانه منبعی ارزان از پروتئین و انرژی است.

کیتوزان یک پلی ساکارید کاتیونی ضعیف است که در اثر استیل زدایی از کیتین تهیه می‌گردد. به طور عمده از پیوندهای (۴)-۲-آمینو-۲-دئوکسی-D-گلوکان تشکیل شده است. کیتوزان چندین گروه قطبی مانند OH و NH<sub>2</sub> دارد که می‌تواند به عنوان گیرنده الکترون عمل کند. تحقیقات اخیر نشان داده که تشکیل نانوالیاف از کیتوزان خالص به روش الکتروریسی مشکل است. مشکل اصلی تهیه محلول کیتوزان مناسب برای فرایند الکتروریسی با غلاظت بالا و ویسکوزیته کم است [۵، ۸، ۹].

با توجه به مطالعات انجام شده تاکنون کامپوزیتی از پروتئین گاودانه و کیتوزان تهیه نشده است. لذا در این بررسی ابتدا این کامپوزیت تهیه و سپس نانوالیاف کامپوزیت حاصل به روش الکتروریسی ساخته شد. در مرحله دوم از نانوالیاف تهیه شده برای ریزپوشینه دار کردن انسانس نعناع استفاده شد.

## ۲. مواد و روش‌ها

### ۱.۲. مواد

گاودانه از بازار محلی خمینی شهر، انسانس نعناع از شرکت پگاه اصفهان و کیتوزان از شرکت سیگما خریداری و سایر مواد

## ۱. مقدمه

طبق تعریف انجمن بین المللی ابتكارات نانوتکنولوژی، نانوتکنولوژی درک و کنترل ماهیت ماده در ابعادی به اندازه ۱تا nm ۱۰۰ است که با پدیده‌های منحصر به فرد کاربردهای جدیدی را پیش رو می‌گذارند [۱]. در میان نانو ساختارهای مختلف، نانو الیاف‌ها مناسب‌تر هستند، زیرا قادرند به راحتی از پلیمرهای طبیعی و سنتزی مختلفی تهیه شده و تولید آن‌ها قابل کنترل است به نحوی که خصوصیات عملکردی آن‌ها در طی تولید قادر به تغییر و دستکاری می‌باشد و می‌توانند به عنوان سیستم‌های حامل برای انتقال عوامل ضد میکروبی، داروهای، رنگ‌ها، طعم دهنده‌ها، آنتی اکسیدان‌ها و دیگر ترکیبات عملگرا استفاده شوند. همچنین نانوالیاف برای رهایش کنترل شده ترکیبات به کار می‌روند. نانوالیاف به صورت الیاف با قطر کمتر از ۱۰۰ نانومتر تعریف می‌شود.

نانوکامپوزیت راهکار جدیدی برای بهبود خواص پلیمرها است. خواص ممانعت‌کننده‌گی، استحکام مکانیکی، ممانعت از نفوذ گازها و نیز مقاومت حرارتی نانوکامپوزیت‌ها در مقایسه با کامپوزیت‌های عادی مرسوم بهبود یافته است. از جمله نانوکامپوزیت‌ها می‌توان به نانوکامپوزیت‌های تقویت شده با نانو الیاف اشاره نمود. این نانوالیاف‌ها به روش‌های مختلفی تولید می‌شوند که از جمله این روش‌ها الکتروریسی است [۲، ۳].

الکتروریسی به عنوان یک روش ریزپوشینه دارکردن، توانایی به دام اندختن مواد درون نانوالیاف برای انتقال آن‌ها به درون سیستم‌های غذایی را دارد. الکتروریسی شامل کشش دادن سیالی که به صورت پلیمر مذاب و یا محلول پلیمر است می‌باشد. در روش الکتروریسی از بارهای الکتریکی استفاده می‌کنند. این بارها بر سیال اعمال می‌شود تا یک نیروی کششی به سمت صفحه جمع‌کننده الیاف ایجاد شود. به عبارت دیگر اختلاف پتانسیل بین نوک سوزن و این صفحه جمع‌کننده برقرار می‌شود. زمانی که یک ولتاژ بالای کافی به کار بrede شود، یک جریان مداوم از قطرات محلول پلیمر که در نوک سوزن قرار دارد ساخته خواهد شد. زنجیره‌های پلیمر که در محلول با هم درگیر هستند مانع از انفصال رشته بیرون آمده از جت الکتروریسی می‌شوند. پارمترهای فرایند مانند ولتاژ اعمال شده، نرخ جریان و فاصله بین سرنگ و جمع‌کننده، ویژگی‌های محلول مانند ویسکوزیته، غلظت، رسانایی، کشش سطحی و فراریت حلال و پارامترهای محیطی

## ۶.۲. الکتروریسی محلول

در ابتدا الکتروریسی محلول پروتئین گاودانه-کیتوzan با نسبت‌های مختلف در شرایط محیط و شرایط مختلف دستگاهی مورد بررسی قرار گرفت. شرایط محیط دمای  $25^{\circ}\text{C}$  و رطوبت نسبی ۳۰٪ بود. شرایط مختلف دستگاهی شامل ولتاژ در محدوده ۰/۱۲ kV تا ۲۰ kV، نرخ تغذیه محلول الکتروریسی در محدوده ۵ mL/h و فاصله سر سوزن تا سطح جمع کننده نانوالیاف در محدوده ۹ cm تا ۱۵ cm بود. برای انتخاب شرایط دستگاهی بهینه در هر بار دو پارامتر ثابت در نظر گرفته شد و پارامتر سوم در محدوده ذکر شده تغییر داد شد. تمام نمونه‌ها پس از الکتروریسی توسط میکروسکوپ نوریکون مدل اسلیپس E600، ساخت کشور ژاپن مورد بررسی قرار گرفت تا شرایط مناسب برای دستیابی به الیافی با کمترین گره و بیشترین یکنواختی تعیین شود.

## ۷.۲. بررسی خواص نانوالیاف تهیه شده

ساختنار نانو الیاف با استفاده از میکروسکوپ نوری با بزرگنمایی ۴۰ و میکروسکوپ الکترونی روبشی مدل هیتاچی S-4160، ساخت کشور کره مورد بررسی قرار گرفت. پس از عکس برداری قطر الیاف تولیدی توسط نرم افزار jImage اندازه‌گیری و سپس میانگین قطری نانوالیاف به کمک نرم افزار Excell تعیین شد. هم‌چنین از طیف سنج مادون قرمز تبدیل فوریه مدل JASCO ساخت کشور ژاپن و پراش پرتو ایکس مدل فیلیپس ایکسپریت، ساخت کشور هلند برای بررسی خواص نانوالیاف تهیه شده استفاده شد.

## ۸.۲. ریزپوشینه دار کردن اسانس نعناع

از نسبت بهینه انتخاب شده در مرحله قبل جهت تهیه محلول استفاده گردید. در این مرحله از نسبت‌های مختلف اسانس نعناع به میزان ۱۰، ۲۰ و ۳۰٪ جهت تشخیص نسبت بهینه برای ریزپوشانی کردن اسانس نعناع استفاده شد. بعد از افزودن اسانس، محلول حاصل به مدت ۲ h در شرایط محیطی همزده و بلافاراصله الکتروریسی گردید. به منظور بررسی خواص محلول تهیه شده ویسکوزیته و هدایت الکتریکی آن اندازه‌گیری شد.

## ۹.۲. بررسی ویژگی‌های نانوالیاف حاوی اسانس نعناع ویژگی‌های نانوالیاف حاوی اسانس نعناع با استفاده از میکروسکوپ نوری با بزرگنمایی ۴۰، میکروسکوپ الکترونی

شیمیایی مورد استفاده شامل تری فلوئورو استیک اسید، هیدروکلریک اسید و هیدروکسید سدیم از شرکت مرک آلمان تهیه شد.

## ۲.۲. استخراج پروتئین از دانه گاودانه

ابتدا دانه‌های گاودانه به صورت دستی کاملا تمیز و عاری از هر گونه ناخالصی شد. دانه‌ها با استفاده از آسیاب آزمایشگاهی کاملا آسیاب و به منظور یکنواختی هر چه بیشتر ذرات از الک مش استفاده شد. پودر حاصل در آب مقطر قلیایی pH = ۱۱ با نسبت ۱ به ۱۰ وزنی-حجمی خیسانده شد. محلول به مدت ۱ h به هم زده شد تا پروتئین به صورت کاملا محلول در آمده و از ترکیبات غیر پروتئینی جدا شود. سپس محلول در ۳۲۰۰ g به مدت ۱۰ min سانتریفوژ و بعد از آن محلول رویی جمع آوری و pH آن با ۰/۱ N HCl به ۵/۴ رسانده شد. در ادامه سانتریفوژ دوباره انجام و رسوبات حاصل در شرایط خلا در دمای  $40^{\circ}\text{C}$  خشک گردید.

## ۳.۲. تهیه محلول کیتوzan-پروتئین

برای این منظور از نسبت‌های مختلف کیتوzan و پروتئین جهت ایجاد محلول بهینه استفاده شد. از تری فلوئورو استیک اسید به عنوان حلal استفاده گردید. بعد از آماده سازی، محلول در شرایط محیطی به مدت ۱۲ h بر روی هم زن مغناطیسی هم زده شد و سپس به مدت یک هفته در ظرفی دربسته و تیره در شرایط محیطی نگهداری گردید.

## ۴.۲. اندازه‌گیری ویسکوزیته محلول پلیمری

اندازه‌گیری ویسکوزیته محلول‌های پروتئین گاودانه، کیتوzan و کمپلکس پروتئین-کیتوzan در دمای اتاق و با استفاده از ویسکومتر بروکفیلد R VDV-II، ساخت کشور آمریکا و اسپیندل شماره ۲۱، سرعت چرخش ۵۰ rpm، زمان ۲ min و حجم نمونه ۱۰ mL انجام شد [۳].

## ۵. اندازه‌گیری هدایت الکتریکی محلول پلیمری

هدایت الکتریکی محلول‌های پروتئین، کیتوzan و کمپلکس پروتئین-کیتوzan با استفاده از هدایت سنج دیجیتالی مدل ۱۰۳، ساخت کشور تایوان برای تمام محلول‌های تهیه شده اندازه‌گیری شد [۳].

ابتدا  $24\text{ mg}$  از نانوالیاف حاوی اسانس تهیه و به صورت نمونه‌های  $2\text{ mg}$  در  $12$  عدد اپندورف توزین شد. سپس اپندورف‌ها با درب نیمه باز داخل دسیکاتور با رطوبت نسبی  $\approx 33\%$  قرار گرفتند. دسیکاتور در آون با دمای  $25^{\circ}\text{C}$  قرار گرفت. در هر روز از آزمایش  $2$  عدد اپندورف مربوط به نمونه‌ها از آون خارج و در  $5\text{ mL}$  اتانول حل شدند. بعد از فیلتر کردن آن‌ها با استفاده از فیلتر سرسرنگی با قطر منفذ  $\mu\text{m} / 45^{\circ}$ ، جذب در طول موج  $282\text{ nm}$  خوانده شد. همچنین به منظور مقایسه پایداری اسانس در دو حالت آزاد و ریزپوشانی شده، مقدار  $1\text{ mL}$  از اسانس به همان صورت نمونه‌های نانوالیاف، در اپندورف‌های مجزا قرار گرفته و داخل آون قرار داده شدند. در زمان‌های اشاره شده  $2$  عدد اپندورف برداشته و کل محتوى اپندورف در اتانول حل و سپس جذب آن خوانده شد و با استفاده از رابطه (۳) درصد رهایش اسانس طی انبارداری محاسبه شد [۱۲].

### ۳. نتایج و بحث

#### ۳.۱. تهیه محلول پلیمر برای الکتروریسی

به منظور تهیه نانوالیافی با کمترین قطر و گره، درصدهای مختلف کیتوزان و پروتئین گاودانه و غلظت‌های مختلف کمپلکس در اسید تهیه و مورد الکتروریسی قرار گرفت. نانوالیاف‌های تهیه شده با استفاده از میکروسکوپ نوری مورد بررسی قرار گرفت و در نهایت استفاده از محلول حاوی  $2\%$  کیتوزان و  $5\%$  پروتئین گاودانه و در نتیجه غلظت  $7\%$  کمپلکس در اسید به عنوان بهترین محلول برای الکتروریسی و تهیه نانوالیاف انتخاب شد. در انتخاب بهترین درصد اسانس نعناع نیز، غلظت  $20\%$  برای دستیابی به نانوالیافی مناسب از نظر شکل ظاهری و یکنواختی و میزان گره‌ها به عنوان درصد بهینه انتخاب شد.

#### ۴. بررسی ویژگی‌های محلول پلیمری

##### ۴.۱. بررسی ویسکوزیته محلول

مطابق جدول (۱) ویسکوزیته محلول کیتوزان به طور قابل ملاحظه‌ای بیشتر از محلول پروتئین است که می‌توان آن را به وزن ملکولی بیشتر پلیمر کیتوزان نسبت داد. بعد از تهیه کمپلکس پروتئین گاودانه با کیتوزان ویسکوزیته کمپلکس حاصل نسبت به ویسکوزیته پروتئین افزایش و نسبت به

روشی، طیف سنجی مادون قرمز تبدیل فوریه و پراش اشعه ایکس مورد بررسی قرار گرفت.

#### ۴.۲. راندمان ریزپوشینه دار کردن اسانس نعناع

$10\text{ mg}$  از نمونه الیاف حاوی اسانس در  $10\text{ mL}$  اتانول در ظرف درب بسته به مدت  $15\text{ min}$  کاملاً مخلوط و سپس با استفاده از فیلتر سرسرنگی صاف و جذب آن در طول موج  $282\text{ nm}$  خوانده و با استفاده از رابطه‌های زیر راندمان و میزان بارگیری اسانس محاسبه شد [۱۰].

$$(1) = \text{راندمان ریزپوشینه دار کردن} \\ 100 \times (\text{مقدار اسانس اولیه} / \text{مقدار اسانس ریزپوشینه دار شده})$$

$$(2) = \text{میزان بارگیری اسانس} \\ 100 \times (\text{وزن نانوالیاف حاوی اسانس} / \text{وزن اسانس ریزپوشینه دار شده})$$

#### ۵. بررسی رهایش اسانس نعناع در مدل سیستم شبیه سازی شده معده

برای بررسی رهایش، نانوالیاف به دقت از سطح ورقه آلومینیوم جداسازی شده و به قطعاتی با وزن حدود  $10\text{ mg}$  بربیده شدند. هر قطعه در  $25\text{ mL}$  از محیط شبیه سازی شده معده قرار داده شد و به طور مداوم در دور  $100\text{ rpm}$  با استفاده از یک همزن معناطیسی هم زده شد. برای تهیه محیط شبیه سازی شده معده، از کلریدریک اسید  $M/2$  و پتاسیم کلرید  $M/2$  استفاده شد تا  $\text{pH} 1/2$  محیط به  $1/2$  برسد. برای بررسی رهایش در زمان‌های مختلف  $3\text{ mL}$  از محلول برداشته شده و بعد از صاف کردن با صافی  $0.45\text{ }\mu\text{m}$  میکرون، با استفاده از دستگاه اسپکتروفوتومتر در طول موج  $282\text{ nm}$  جذب آن خوانده شد. درصد رهایش با استفاده از رابطه زیر محاسبه شد [۱۱].

$$(3) = \text{درصد رهایش اسانس} \\ 100 \times (\text{مقدار کل اسانس ریزپوشینه شده} / \text{مقدار اسانس رها شده})$$

#### ۶. میزان پایداری اسانس نعناع در نانوالیاف طی انبارداری

انبارمانی به مدت  $20$  روز در فواصل  $4$  روزه یعنی در روزهای صفر،  $4$ ،  $8$ ،  $12$  و  $20$  ارزیابی شد. روش کار بدین صورت بود که

جدول (۱) هدایت الکتریکی و ویسکوزیته محلول‌های تهیه شده جهت الکتروریسی.

Table 1 Electrical conductivity and viscosity of prepared solutions for electrospinning.

ویسکوزیته viscosity (centipoise)	هدایت الکتریکی electrical conductivity (microsiemens/cm)	محلول solution
16	0.4	پروتئین گاودانه Bitter Vetch protein
1020	1.5	کیتوزان Chitosan
530	0.92	پروتئین-کیتوزان Chitosan-Protein
520	0.9	پروتئین-کیتوزان-اسانس Chitosan-Protein-Essential oil

شد. پس از افزودن اسانس نعناع به محلول کمپلکس پروتئین-کیتوزان، مجدداً شرایط دستگاهی تغییر داده شد تا بهترین نمونه توسط میکروسکوپ نوری مشاهده شود. شرایط دستگاه برای الکتروریسی نانوالیاف حاوی اسانس نعناع عبارت بودند از: ولتاژ ۲۰ kV ، فاصله نوک سوزن تا جمع‌کننده ۱۵ cm و نرخ جریان ۰.۰/۲ mL/h

#### ۴.۳. بررسی قطر و ساختار نانو الیاف

تصاویر میکروسکوپ الکترونی روبشی نانوالیاف حاصل از الکتروریسی پروتئین-کیتوزان و نانوالیاف حاوی اسانس نعناع در نسبت بهینه در شکل (۱) نشان داده شده است. قطر الیاف پروتئین-کیتوزان به طور متوسط بین ۱۰۰ تا ۲۵۰ nm اندازه‌گیری شد. چن و همکاران بعد از الکتروریسی کلازن و کیتوزان در تری فلئورو استیک اسید میانگین قطر را بین ۲۰۰ تا ۲۵۰ nm گزارش کردند. همچنین گزارش کردند با افزایش میزان کیتوزان قطر الیاف کاهش می‌یابد ولی به دلیل ایجاد ویسکوزیته بالا در غلظت-های بیش‌تر کیتوزان الکتروریسی امکان پذیر نبوده است [۵]. افزودن اسانس موجب کاهش هدایت الکتریکی و در نتیجه کاهش جت پلیمر در حین الکتروریسی شده و همین امر سبب افزایش قطر الیاف شده است. هدایت الکتریکی محلول تأثیر به سزاوی بر قطر نانو الیاف دارد. افزایش هدایت محلول باعث افزایش توزیع بار در جت الکتروریسی می‌شود. درنتیجه نیروهای کششی بیش‌تری بر نانوالیاف وارد شده و این عامل سبب تولید الیاف باریک‌تر و یکنواخت‌تر می‌شود در صورتی که الکتروریسی محلول با هدایت الکتریکی پایین سبب افزایش قطر می‌شود. این

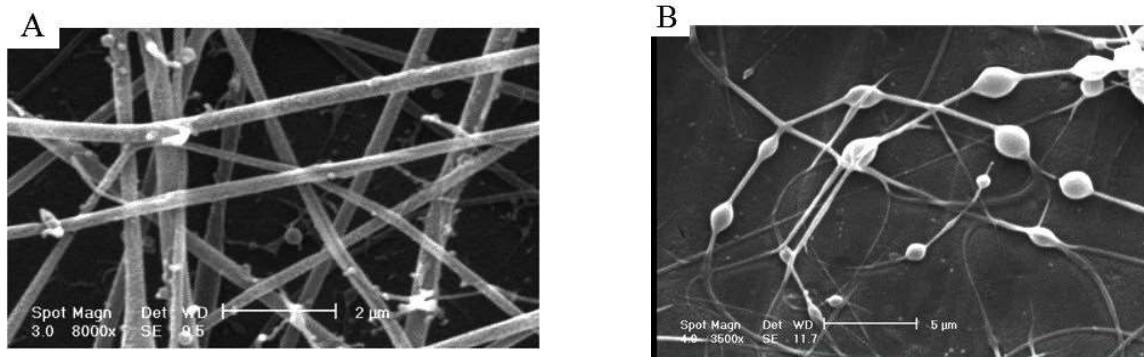
ویسکوزیته کیتوزان کاهش یافت که این تغییر نشان دهنده برهمکنش بین ملکولی این دو ماده است. همان‌طور که مشاهده می‌شود بعد از افزودن اسانس تغییر محسوسی در ویسکوزیته ایجاد نشد که به دلیل حجم بسیار کم اسانس اضافه شده می‌باشد. به طور معمول با افزایش ویسکوزیته، قطر الیاف نیز افزایش می‌یابد. احتمال دارد که این امر به دلیل مقاومت بیش‌تر محلول در مقابل کشیده شدن توسط بارهای سوارشده بر روی جریان شتابدار محلول اتفاق می‌افتد [۵، ۹].

#### ۴.۲.۳. بررسی هدایت الکتریکی محلول

همان‌طور که در جدول (۱) مشاهده می‌شود، کیتوزان هدایت الکتریکی بالاتری نسبت به پروتئین گاودانه دارد. با توجه به گروه‌های آمینه قابل پروتونه شدن، کیتوزان یک پلیمر کاتیونی است و از نظر الکتریکی هادی است. مشاهده می‌شود که بعد از افزودن اسانس، هدایت الکتریکی کاهش پیداکرده است که به دلیل غیر یونی بودن ساختار اسانس نعناع می‌باشد. افزایش هدایت الکتریکی محلول منجر به کاهش چشمگیری در قطر نانوالیاف می‌شود.

#### ۴.۳. الکتروریسی محلول‌های پروتئین-کیتوزان و پروتئین-کیتوزان-اسانس نعناع

در انتخاب بهترین شرایط دستگاه الکتروریسی، ولتاژ، فاصله نوک سوزن تا جمع‌کننده و نرخ تغذیه مورد بررسی قرار گرفت. در انتخاب بهترین شرایط از میکروسکوپ نوری استفاده شد. با توجه به نتایج، ولتاژ ۲۰ kV ، فاصله نوک سوزن تا جمع‌کننده ۱۵ cm و نرخ جریان ۰/۳ mL/h به عنوان شرایط بهینه انتخاب



شکل(۱) تصویر میکروسکوب الکترونی a) نانوالیاف پروتئین گاودانه-کیتوزان b) نانوالیاف حاوی اسانس

Fig. 1 SEM of a) bitter vetch protein-chitosan nanofibers, b) nanofibers containing essential oil

و تامر گزارش کردند بعد از افزودن اسانس وانیل به نانوالیاف دکستربن و پلی ونیل الكل ساختار کریستالی به سمت آمورف پیش رفت [۱۴].

### ۶.۳. طیف سنجی مادون قرمز

آنالیز طیفسنجی مادون قرمز برای بررسی هر گونه بر هم کنش بین پروتئین گاودانه و کیتوزان و اسانس نعناع در نانوالیاف الکتروریسی شده انجام شد. شکل (۳) طیف مادون قرمز پروتئین گاودانه، کیتوزان، نانوالیاف کمپلکس کیتوزان-پروتئین و نانوالیاف کمپلکس کیتوزان-پروتئین حاوی اسانس نعناع را در محدوده عدد موج‌های  $400 \text{ cm}^{-1}$  تا  $4000 \text{ cm}^{-1}$  نشان می‌دهد.

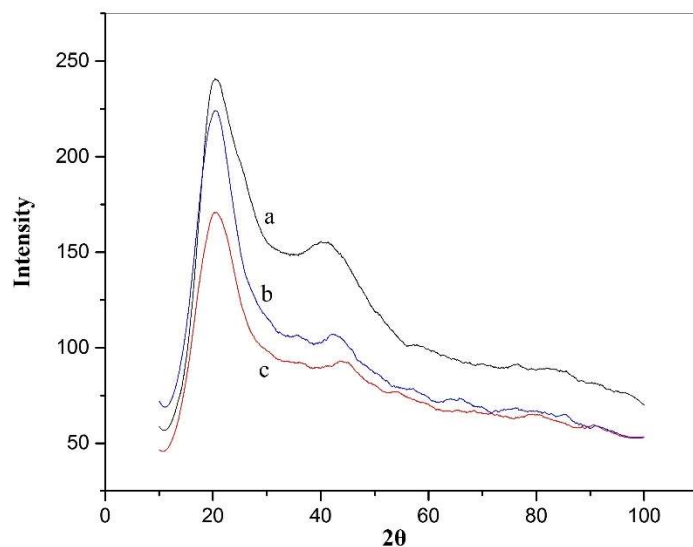
در طیف کیتوزان نوارهای مربوط به عدد موج‌های  $1640$ ،  $1240$  و  $1040 \text{ cm}^{-1}$  به ترتیب مربوط به آمید (۱) آمید (۲) و آمید (۳) می‌باشد. همچنین نوارهایی در محدوده  $3200$  تا  $3400 \text{ cm}^{-1}$  ترکیبی از نوارهای مربوط به گروههای کشنی  $\text{OH}$  و پیوندهای هیدروژنی درون ملکولی هستند. عدد موج در محدوده  $1000 \text{ cm}^{-1}$  مربوط به پیوند  $\text{C=O}$  و نوارهای ظاهرشده در محدوده  $500 \text{ cm}^{-1}$  تا  $1500 \text{ cm}^{-1}$  شاخصهای کربوهیدرات‌ها می‌باشد.

در نمونه پروتئین نوارهای مربوط به عدد موج‌های  $1640$ ،  $1540$  و  $1240 \text{ cm}^{-1}$  مشاهده می‌شود که به طور تقریبی مشابه کیتوزان است و به ترتیب مربوط به آمید (۱)، آمید (۲) و آمید (۳) می‌باشد. آمید (۱) شاخص ترین طیف در شناسایی ساختمان دوم پروتئین‌هاست. عدد موج محدوده  $3000 \text{ cm}^{-1}$  مربوط به گروه آلکان‌ها است.

بدان علت است که از دیاد طول جت توسط نیروی الکتریکی کافی نبوده و تولید الیاف یکنواخت امکان‌پذیر نیست. این نتایج با نتایج منگ و همکاران مطابقت داشت [۱۳]. وان سالک و همکاران از کامپوزیت ایجاد شده از زئین و کیتوزان برای ریز پوشانی کردن آلفاتوکوفرول استفاده کردند و میانگین قطر به دست آمده را بین  $500$  تا  $700 \text{ nm}$  گزارش کردند [۷].

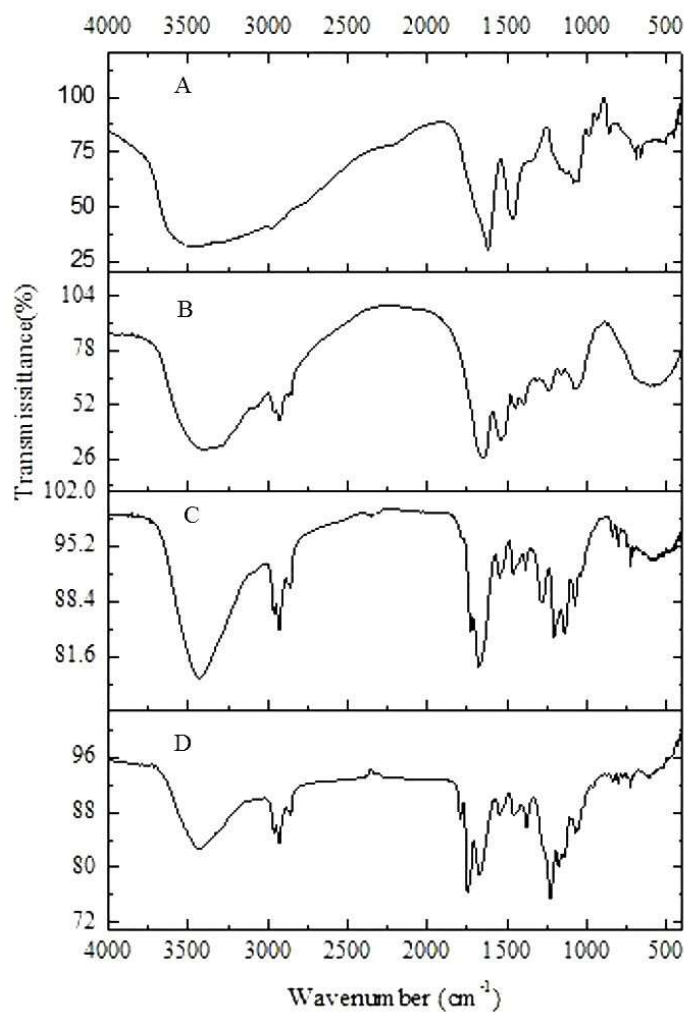
### ۵.۳. آنالیز پراش اشعه ایکس

در این پژوهش از پراش اشعه ایکس برای نمونه‌های پروتئین گاودانه، نانوالیاف پروتئین-کیتوزان و نانوالیاف حاوی اسانس استفاده شد (شکل ۲). همانطور که مشخص است این الگوها برای هر سه نمونه تقریباً مشابه و در محدوده  $2\theta = 20^\circ$  و  $2\theta = 42^\circ$  نشان داده‌اند که بیانگر ساختار نیمه بلوری هر سه نمونه می‌باشد. آنالیز پراش اشعه ایکس با استفاده از نرم افزار اوریجین درصد تبلور را برای نمونه‌ها مشخص کرد. پروتئین گاودانه درصد تبلور  $1/2$ ، نانوالیاف کمپلکس پروتئین-کیتوزان درصد تبلور  $58/8$  و نانوالیاف کمپلکس پروتئین-کیتوزان دارای اسانس نعناع درصد تبلور  $56/2$  را دارا می‌باشند. درصد تبلور با تشکیل کمپلکس پروتئین-کیتوزان کاهش یافته است. در واقع با تشکیل کمپلکس در هر مرحله پیک پهن تر و شدت آن کمتر شده است. به عبارتی دیگر ساختار کریستالی به سمت ساختار آمورف پیش رفته است. در مورد نانوالیاف حاوی اسانس به دلیل آمورف بودن اسانس نعناع کاهش بیشتر درصد تبلور رخ می‌دهد. چن و همکاران گزارش کردند در هنگام الکتروریسی کامپوزیت کلاژن و کیتوزان با اسید تری فلئورو استیک اسید، کیتوزان و کلاژن نتوانستند کریستاله شوند و نانوالیاف حاصل ساختار آمورف داشت [۵]. کایا



شکل (۲) الگوی پراش اشعه ایکس (a) پروتئین گاودانه، (b) نانوالیاف کمپلکس پروتئین-کیتوزان، (c) نانوالیاف حاوی اسانس

**Fig. 2.** XRD patterns. a) bitter vetch protein, b) protein-chitosan complex nanofibers and c) nanofibers containing essential oil



شکل (۳) آنالیز طیف سنجی مادون قرمز (a) پروتئین گاودانه، (b) کیتوزان، (c) نانوالیاف کمپلکس پروتئین-کیتوزان و (d) نانوالیاف حاوی اسانس نعناع

**Fig. 3.** FTIR a) bitter vetch protein, b) chitosan, c) protein-chitosan complex nanofibers and d) nanofibers containing peppermint essential oil

و به تدریج رهایش افزایش یافته است. به طوری که پس از ۱ h، ۶۰٪ از انسانس از ساختار نانوالیاف خارج شده است. این در حالی است که پس از یک ساعت فرایند رهایش ثابت مانده و انسانس در ساختار نانوالیاف حفظ شده است. رهایش به طور نسبتاً سریع در ۱۰ دقیقه اول احتملاً به انسانس موجود در سطح نانوالیاف مربوط است. پس از یک ساعت نیز بیش از ۴۰٪ انسانس درون نانوالیاف باقی مانده است که نشان از عدم تخریب کامل نانوالیاف در محیط شبیه سازی شده معده است و لذا نسبت خوبی از انسانس در برابر شرایط اسیدی معده سالم مانده و به طور دست نخورده به روده وارد می‌شود. این نتایج کارامدی نسبتاً خوب نانوالیاف تولید شده در ریزپوشانی کردن انسانس نعناع را نشان می‌دهد. رهایش فرولیک اسید ریزپوشینه شده در محیط معده بررسی و مشاهده شده است که ۶۰٪ از آنتی اکسیدان‌ها در مدت ۳۰ دقیقه رهایش می‌یابد [۱۱].

### ۹.۳ آزمون پایداری انسانس موجود در نانوالیاف طی انبارداری

شکل (۵) پایداری انسانس نعناع ریزپوشانی شده در نانوالیاف کمپلکس پروتئین-کیتوzan و انسانس آزاد را نشان می‌دهد. سرعت آزاد شدن در ۹۶ ساعت اول خیلی سریع و حدود ۶۰٪ از انسانس بعد از ۹۶ h آزاد می‌شود. بخشی از دلیل بالا بودن مقدار انسانس آزاد شده می‌تواند به واسطه انسانس سطحی باشد. بعد از ۹۶ h، سرعت رهایش کند و بعد از ۳۵۰ h کل انسانس آزاد می‌شود. این در حالی است که انسانس آزاد پس از ۱۰۰ h به دلیل فراریت بالا، به طور کامل از بین می‌رود [۱۲]. پائولا و همکاران انسانس روغنی را در کیتوzan و صمغ کاشیو ریزپوشانی کردن و شاهد رهایش ۶۷ درصدی آن طی ۲۴ h بودند [۱۵].

### ۴. نتیجه گیری

به منظور تهیه نانوالیافی با کمترین قطر و گره، استفاده از محلول حاوی ۰.۲٪ کیتوzan و ۵٪ پروتئین گاودانه و در نتیجه غلظت ۰.۷٪ کمپلکس در اسید به عنوان بهترین محلول برای الکتروریسی و تهیه نانوالیاف انتخاب شد. در انتخاب بهترین درصد انسانس نعناع نیز، غلظت ۰.۲٪ به عنوان درصد بهینه انتخاب شد. به منظور تهیه نانوالیاف، الکتروریسی در ولتاژ ۲۰ kV، فاصله نوک سوزن تا جمع‌کننده ۱۵ cm و نرخ جریان ۰.۳ mL/h انجام

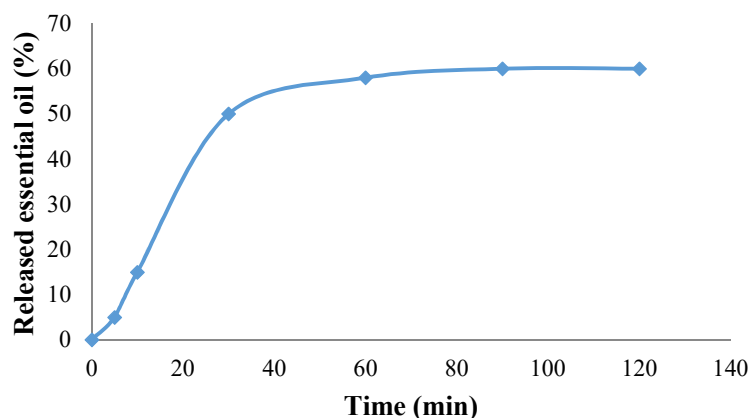
در مقایسه نانوکامپوزیت ایجادشده از پروتئین و کیتوzan با طیف‌های پروتئین و کیتوzan، به جز جایی پیک مربوط به آمید (۱) در ناحیه  $1640\text{ cm}^{-1}$  به ناحیه  $1680\text{ cm}^{-1}$ ، در آمید (۲) و (۳) جایی پیک مشاهده نشد. اتصال پروتئین و کیتوzan از طریق گروه  $\text{NH}_2$  کیتوzan و  $\text{C=O}$  پروتئین انجام شده که سبب جایه‌جایی آمید (۱) از ناحیه  $1640\text{ cm}^{-1}$  به ناحیه  $1690\text{ cm}^{-1}$  می‌شود. چن و همکاران گزارش کردند هنگام الکتروریسی کیتوzan و کلائز به دلیل مشابهت گروه‌های عاملی در هر دو ترکیب نوارهای جذبی مشابهی دیده می‌شود [۵، ۱۳، ۱۵]. شاخص انسانس نعناع گروه کربونیل ( $\text{C=O}$ ) در محدوده عدد موج  $1630\text{ cm}^{-1}$  می‌باشد [۱۶]. گروه کربونیل شاخص خواص آنتی اکسیدانی می‌باشد. در نانوالیاف حاوی انسانس، نوار جدید در محدوده  $1640\text{ cm}^{-1}$  دلیل اثبات حضور انسانس نعناع می‌باشد. هیچ نوار جدیدی در طیف نانوالیاف انسانس در مقایسه با طیف نانوالیاف فاقد انسانس مشاهده نمی‌شود که نشان دهنده عدم واکنش انسانس با کامپوزیت پروتئین-کیتوzan می‌باشد.

### ۷.۳ راندمان ریزپوشینه دار کردن و بارگذاری انسانس در نانوالیاف

راندمان ریزپوشینه دار کردن انسانس نعناع ۷۱٪ و میزان بارگذاری انسانس نعناع در نانوالیاف کمپلکس پروتئین-کیتوzan ۱۴٪ محاسبه شد. هازل و همکاران انسانس رزماری را در پروتئین آب پنیر و مالتودکسترنین ریزپوشینه دار کردند و نشان دادند که به دلیل خاصیت امولسیفایری پروتئین راندمان ریزپوشینه دار کردن انسانس افزایش یافت [۱۰]. وان سالک و همکاران در صد بارگذاری آلفاتوکوفرول در نانوالیاف کامپوزیت کیتوzan-زئین را ۴/۱۷٪ [۷] و قادری و همکاران نیز درصد بارگذاری انسانس آویشن و دارچین در نانوذرات کیتوzan را به ترتیب ۸/۵۱ و ۸/۵۱٪ گزارش کردند [۱۷]. نتایج مختلف نشان می‌دهد که ساختار ماده پوشش دهنده و نوع ماده پوشش داده شده تعیین کننده میزان راندمان و بارگذاری هستند.

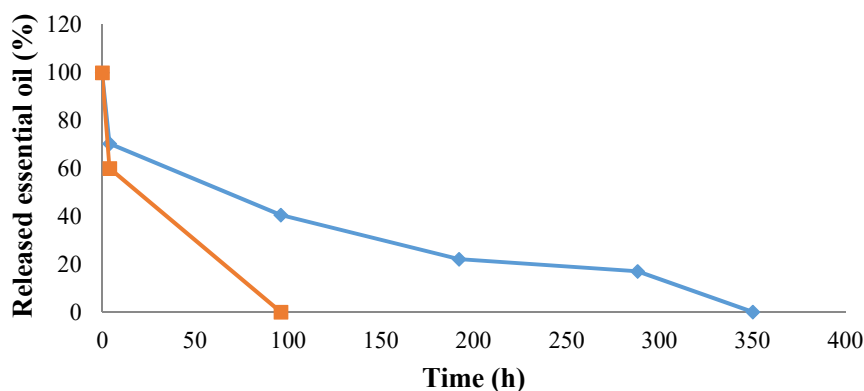
### ۸.۳ نتایج آزمون رهایش انسانس در محیط شبیه سازی شده معده

نتایج آزمون رهایش (شکل ۴) نشان می‌دهد که در شرایط شبیه سازی شده معده در ۱۰ دقیقه اول ۱۵٪ رهایش اتفاق افتاده



شکل (۴) رهایش اسانس در محیط شبیه سازی شده معده

Fig. 4 Essential oil release in simulated stomach



شکل (۵) پایداری اسانس آزاد (دایره) و نانوالياف حاوی اسانس (مربع)

Fig. 5 Stability of free essential oil (circle) and nanofibers containing essential oil (square)

حضور اسانس نعناع در نانوالياف تهیه شده را تایید کرد. FTIR راندمان ریزپوشینه دار کردن اسانس نعناع ۷۱٪ و میزان بارگیری اسانس نعناع در نانوالياف کمپلکس پروتئین-کیتوzan ۱۴٪ محاسبه شد. ریزپوشانی کردن اسانس نعناع در نانوالياف کیتوzan-پروتئین زمان ماندگاری اسانس را از ۴ به ۱۶ روز افزایش داد. آزمون رهایش در شرایط شبیه سازی شده معده نشان داد که اسانس در محیط شبیه سازی شده معده تاحدود ۶۰٪ رهایش پیدا می‌کند.

شده. تصاویر میکروسکوپ الکترونی روبشی نانوالياف حاصل از الکتروریسی پروتئین-کیتوzan قطر الیاف را به طور متوسط بین ۱۰۰ تا ۲۵۰ nm نشان داد. افزودن اسانس موجب کاهش هدایت الکتریکی و در نتیجه کاهش جت پلیمر در حین الکتروریسی شده و همین امر سبب افزایش قطر الیاف شد. نتایج XRD نشان داد که درصد تبلور با تشکیل کمپلکس پروتئین-کیتوzan کاهش یافته است. در مورد نانوالياف حاوی اسانس نیز به دلیل آمورف بودن اسانس نعناع کاهش بیشتر درصد تبلور رخ می‌دهد. نتایج

## منابع

- polyvinyl alcohol nanoweb: prolonged shelf-life and high-temperature. *J. Food Chem.*, 133, 641-649.
- [15] Paula,, H.C.B., Sombra, F.M. , M., Cavalcante, R.F., Abreu, O.M.S., Paula, R.C.M. (2011) Preparation and characterization of chitosan/cashew gum beads loaded with lippid sidoides essential oil. *Mater. Sci.*, 31,173-178.
- [16] Ghayempur, S., Mortazavi, S.M. (2015). Microwave curing for applying polymeric nanocapsules containing essential oils on cotton fabric to produce antimicrobial and fragrant textiles. *Cellulose*, 22, 4065-4075.
- [۱۷] قادری قهرخی، م. (۱۳۹۴) ریزپوشانی انسان‌های آویشن و دارچین در نانو ذرات کیتوزان و بررسی اثرات نگهدارندگی آن‌ها در همبرگر. پایان نامه دکترا. دانشگاه تربیت مدرس.
- [1] Lagaron, J.M., Lopez-Rubio, A. (2011). Nanotechnology for bioplastics: opportunities, challenges and strategies. *Trends Food Sci. Tech.*, 22, 611-617.
- [2] Megelski, S., Stephens, J.S., Chase, D.B. (2002). Micro- and nanostructured surface morphology on electrospun polymer fibers. *Macro.*, 35, 4856-8466.
- [۳] دادگر، م. و مراتی، ع.ا. (۱۳۸۷) مقدمه‌ای بر الکتروریسی و نانولایاف. انتشارات جهاد دانشگاهی، ص ۲۱۹-۱۷۳.
- [4] Ma, W., Tang, C.H., Xiao, Q.Y. (2013). Fabrication and characterization of kidney bean protein isolate-chitosan composite films at acidic ph. *J. Food Hedro.*, 31, 237-247.
- [5] Chen, Z.G., Wang, P.W., Wei, B., Mo, X.M., Cui, F.Z. (2010). Electrospun collagen-chitosan nanofibr A biomimetic extracellular matrix for endothelial cell and smooth muscell cell. *Acta Biomaterialia.*, 6, 372-382.
- [6] Chen, Q., Wang, S .(2009). Poly (vinyl alcohol) nanocomposites based on cellulose/starch by electrospinning. *J. Food Eng.*, 40, 218-226.
- [7] Wengsasulak, S.W., Pathumban, S. (2014). Effect of entrapped alfa-tocopherol on mucoadhesivity and evaluation of the release degradation and swelling characteristics of zein-chitosan composite electrospun fibers. *J. Food Eng.*, 120, 110-117.
- [8] Geng, X., Kwon, O.H., Jang, J. (2005). Electrospinning of chitosan dissolved in concentrated acetic acid solution. *Biomat.*, 26, 5427-5432.
- [9] Kriegel, Ch., Arrechi, A., kit, K., McClements, D.J. (2012). A review on fabrication, functionalization and application of electrospinning biopolymer nanofibers. *Food Sci.*, 48,775-797.
- [10] Huang, Z.M., Zhang, Z., Kotaki, M., Ramakrishna, S. (2003). A review on polymer nanofibers by electrospinning and their applications in nanocomposites. *Compos. Sci. Technol.*, 63, 2223-2253.
- [11] Aceituno-Medina, M., Sandra, M., Beatriz, A. Rodriguez, J. Ampara, L.R. (2015). Improved antioxidant capacity of quercetin and ferulic acid during in-vitro digestion through encapsulation within food-grade electrospun fibers. *J. Func Food*, 12, 332-341.
- [12] Li , Y., Yokoyama, L.A.W., Shoemaker, C.F., Wei, D., Ma, J., Zhong, F. (2013). Properties of chitosan-microencapsulated orange oil prepared by spray-drying and its stability to detergent. *J. Agric. Food Chem.*, 61, 3311-3319.
- [13] Meng., J.Q., Yang-fang, Q., Yu ping, Z., Wei, J. (2015). Thermal behavior of electrospun gelatin and chitosan complex. *J. Therm. Sci.*, 19, 1323-1326.
- [14] Kaya, F., Tamer, U. (2012). Encapsulation vanillin/cyclodextrin inclusion complex in electrospun